

## تشدید بیان ژن *TYDC2* در گیاه دارویی خشخاش به منظور افزایش

### آلکالوئیدهای دارویی

### Overexpression of *TYDC2* in medicinal plant opium poppy to increase its medicinal alkaloids contents

فرزانه کوهزادی<sup>\*</sup>، منصور امیدی<sup>۱</sup>، محمود سلوکی<sup>۲</sup>، نفیسه مهدی نژاد<sup>۳</sup>، هوشنگ علیزاده<sup>۴</sup>

۱،۲-۴- به ترتیب فارغ التحصیل کارشناسی ارشد، دانشیار و مربی گروه زراعت و اصلاح نباتات دانشگاه زابل

۲-۵- به ترتیب استاد و استادیار گروه زراعت و اصلاح نباتات دانشگاه تهران

Koohzadi F<sup>\*1</sup>, Omidi M<sup>2</sup>, Solouki M<sup>3</sup>, Mahdinejad N<sup>4</sup>, Alizadeh H<sup>5</sup>

۱,3,4. Graduate student, Associate Professor, Instructor, College of Agriculture, University of Zabol, Zabol, Iran.

2,5. Professor, Assistant Professor, College of Agriculture, University of Tehran, Karaj, Iran.

نویسنده مسئول مکاتبات، پست الکترونیکی: \*

(تاریخ دریافت: ۸۹/۹/۲۸ - تاریخ پذیرش: ۹۱/۳/۲۳)

#### چکیده

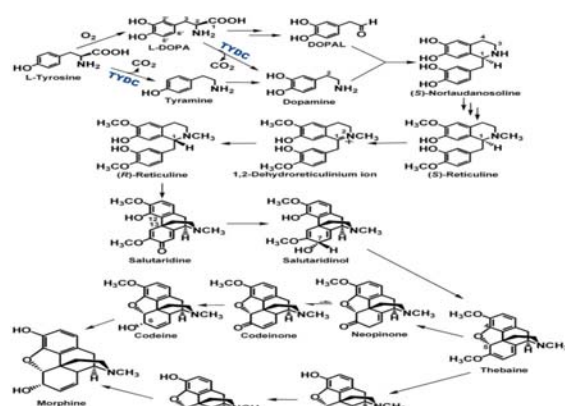
آلکالوئیدهای گروه مرفین در خشخاش از دو مولکول آسید آمینه آل-تیروزین توسط حداقل ۱۷ مرحله آنزیمی طی چندین واکنش اکسیداژیو پیوسته سنتز می‌شوند. اولین آنزیم کلیدی در این مسیر آل-تیروزین دکربوکسیلاز (*TYDC*) می‌باشد. تیروزین دکربوکسیلاز یک آمینو اسید دکربوکسیلاز حلقی رایج و عمومی در گیاهان می‌باشد که در گونه‌های مختلف گیاهی بیوستتر تعداد زیادی از متabolیت‌های اولیه و ثانویه به آن وابسته می‌باشد. به منظور تشدید بیان این ژن در گیاه خشخاش، سازه ژنی مناسب به نام pBI121-TK طراحی شد. بدین ترتیب که توالی کوزاک به عنوان یک افزایش دهنده بیان ژن در بالا دست کدون شروع ژن *TYDC2* الحاق و در پلاسمید حد واسط pTZ57R/T درج شد و سپس در ناحیه T-DNA پلاسمید دوتایی 1 p, در جایگاه ژن *GUS* تحت پیشر CaMV35S و پایان بر Nos وارد شد. نتایج کلونیگ با استفاده از روش‌های مختلف مولکولی از جمله برش آنزیمی، PCR و کلونی PCR در هر مرحله از آزمایش بررسی و تأیید شد. بهینه سازی انتقال ژن به روش آزمون هیستوشیمیایی *GUS* در گیاهان اگرواینفلتره شده توسط پلاسمید pBI121 مطابق با شرایط بهینه شده، به گیاهان شش هفتۀ ای تلقیح شد. میزان آلکالوئیدهای گروه مورفین با دستگاه HPLC اندازه‌گیری شد. نتایج حاصل نشان دهنده افزایش ۲۵/۲ درصدی آلکالوئیدهای مورفین، کدئین و تیائین در نمونه ترازیخته نسبت به نمونه شاهد بود.

#### واژه‌های کلیدی

تشدید بیان ژن،  
توالی کوزاک،  
تیروزین دکربوکسیلاز (*TYDC2*),  
خشخاش،  
مورفین.

## مقدمه

ترکیب دوپامین با -۴- هیدروکسی فنیل استالدئید اس- نورکوکلورین<sup>۵</sup> تولید می شود (شکل ۱). اس- نورکوکلورین به عنوان پیش ماده عمومی آalkالوئیدها شناخته شده است و تعداد زیادی از آalkالوئیدها مانند بنزوفنانتریدین آalkالوئیدها، پروتوبین آalkالوئیدها و بنزیل ایزو-کوئینولین آalkالوئیدها از آن منشعب می شوند(Bird et al. 2003).



شکل ۱- مسیر سنتز مورفین در گیاه خشخاش (Verpoorte and Alfermann 2000).

در مسیری که به سنتز مورفین متوجه می شود، اس- نورکوکلورین طی چند واکنش متوالی به اس- نورلانوزولین<sup>۶</sup> و این ترکیب هم بعد از چند مرحله دیگر به اس- رتیکولین<sup>۷</sup> تبدیل می شود. اس- رتیکولین یکی دیگر از نقاط انشعابی مهم است که سه گروه مهم آalkالوئیدی یعنی آalkالوئیدهای گروه مورفین، سنگوئینارین و لاودانوزین از آن منشعب می شوند. بدین ترتیب که اس- رتیکولین از یک سو توسط آنزیم *BBE*<sup>۸</sup> به اس- اسکولرین تبدیل شده و بعد از چند واکنش پی در پی دیگر سنگوئینارین<sup>۹</sup> که دارای خاصیت آنتی بیوتیکی است، سنتز می شود. از طرفی اس- رتیکولین به آر- رتیکولین و سپس به سالوتاریدین تبدیل می شود. آنزیم سالوتاریدینول ۷-۱ و- استیل ترنسفراز، تبدیل آalkالوئید فنانتریدینی سالوتاریدینول به سالوتاریدینول ۷-۱ و- استات را کاتالیز می کند که این ترکیب هم در مرحله بعد با از دست دادن گروه استات و تغییر شکل

امروزه با بکارگیری انتقال ژن و روش های مشابه آن، تولید گیاهان ترا ریخت با بهبود در خصوصیات مربوط به عملکرد، کیفیت غذایی بالاتر، مقاومت به بیماری ها و آفات امکان پذیر شده است. یکی از کاربردهای مهم این تکنیک ها بالا بردن قابلیت تولید یک فرآورده با ارزش دارویی با دستورالیز مسیر سنتز آنها در گیاهان است، که تحت عنوان مهندسی متابولیک نامیده می- شود. مهندسی متابولیک رو شی قدر تمدن جهت طراحی هوشمندانه مسیرهای بیولوژیکی جدید، سیستم ها و در نهایت فنوتیپ های جدید، با استفاده از تکنولوژی DNA نوترکیب محققین به پتانسیل استفاده از ژن های چندگانه برای به وجود آوردن مسیرهای جدید که طیف وسیعی از ترکیبات از سوبستراهای مختلف را تولید می- کنند، پی بردن. انتقال ژن *SOMT*<sup>۱</sup> از گیاه *Coptis japonica* به خشخاش کالیفورنیا بی جهت تولید ترکیباتی جدید، از آن جمله (Verpoorte and Alfermann 2000; Ziegler et al. 2006) بیوسنتز آalkالوئیدهای بنزیل ایزو-کوئینولین در گیاه خشخاش یکی از مناسب ترین مدل های شناخته شده برای مهندسی متابولیک به شمار می آید. بدین ترتیب که با توسعه ایبارهای ژنومیکس، به خصوص<sup>۲</sup> EST ها زمینه مناسبی برای کشف ژن های بیوسنتزی<sup>۳</sup> *BIAS* فراهم شد و بسیاری از آنزیم های دخیل در سنتز مورفین شناخته شد و همچنین کتابخانهی *CNMT SOMT NCS TYDC* برای این ژن ها (زجمله cDNA SAT TNMT BBE CYP80B1 CYP80A1 COR) فراهم گردید. این اطلاعات بر پایه ای توالی یابی بیش از ۳۰۰۰۰ cDNA از کتابخانهی کشت سلولی خشخاش که توسط elicitor ها تیمار شدند، حاصل شده است (Weid et al. 2004). آalkالوئیدهای گروه مورفین از دو مولکول ال- تیروزین، که توسط آنزیم ال- تیروزین/دوپا دکربوکسیلاز<sup>۴</sup> (*TYDC*) به تیرامین و دوپامین تبدیل می شود، سنتز می شود. تیرامین در مرحله بعد به -۴- هیدروکسی فنیل استالدئید تبدیل می شود. سپس از

<sup>5</sup> S-Norcoclaurine

<sup>6</sup> S-Norlaudanosoline

<sup>7</sup> S-Reticuline

<sup>8</sup> Berberine Bridge Enzyme

<sup>9</sup> Sanguinarine

<sup>1</sup> Scoulerine-o-methyltransferase

<sup>2</sup> Expressed sequence tags

<sup>3</sup> Benzyl-isoquinoline alkaloids

<sup>4</sup> Tyrosine decarboxylase

(*TYDCs*) می‌باشد که از حدود ۱۵ عدد ژن تشکیل شده‌است. تا کنون ۸ عدد از این ژن‌ها جداسازی و بر اساس شباهت توالی به دو زیرخانواده *TYDC1* و *TYDC2* دسته-بندی شده‌اند. نتایج آزمایشات حاکمی از آن بود که هریک از این دو گروه در اندام‌های خاصی بیان می‌شوند. به این ترتیب که خانواده *TYDC1* به مقدار زیاد در ریشه و خانواده *TYDC2* هم در ریشه و هم در ساقه بیان می‌شوند. اختصاصی بودن بیان این دو خانواده ژنی در این اندام‌ها نشان می‌دهد که یکی از مکانیزم‌های تنظیمی گیاه در سنتز گروه‌های مختلف آلکالوئیدی، خانواده ژنی *TYDC1* و (*Facchini and De Luca 1995; El- Ahmadi 2001; Nessler 2001; Grothe et al. 2001*)

در این تحقیق قصد داریم با تشدید بیان ژن *TYDC2* در گیاه خشخاش، مسیر سنتز آلکالوئیدهای گروه مورفین را به سمت تولید هرچه بیشتر این ترکیبات با ارزش هدایت کنیم. تا بدین وسیله امکان تولید هرچه ارزان‌تر این داروهای با ارزش و حیاتی فراهم شود.

## مواد و روش‌ها

ساخت سازه نوترکیب حاوی ژن *TYDC2* در این تحقیق از گیاه *Papaver somniferum* باکتری‌های *Agrobacterium tumefaciens* *DH5α* و *E. coli* می‌باشد. مسیر سنتز *DNA* استفاده شد. *LBA4404* استخراج شد و سپس ژن *TYDC2* توسط PCR با استفاده از آنزیم *R1:* ۵' pfu و آغازگرهای *(F1:* ۳') ACTTGCTCCAAGGCTGTGC ۳' و *R1:* CAGCATTATGGATGACCCG ۳' از روی توالی موجود در بانک اطلاعاتی NCBI با Primer3 دسترسی U08598 طراحی شده بود، تکثیر شد.

محصول PCR از روی ژل آکارز با استفاده از کیت *pGEM* (شرکت Roche) بازیابی و در پلاسمید *DNA Extraction* (شرکت Promega) درج شد و به سلولهای *T-Easy Vector* (*E. coli*) با استفاده از روش کلیسیم کلراید و شوک حرارتی منتقل شد و در محیط مک‌کانکی آگار حاوی آنتی

در ساختمان مولکولی اولین ترکیب شش حلقه‌ای مورفینی این مسیر، یعنی تبائین را می‌سازد (Guillet et al. 2000). سپس بعد از دمتیله شدن تبائین، مورفین تولید می‌شود. البته باید ذکر کرد که دمتیلاسیون تبائین از دو مسیر مختلف صورت می‌گیرد. در مسیر اول تبائین ابتدا به اوریپاوین و سپس مورفینون و در نهایت به مورفین تبدیل می‌شود. در مسیر دیگر تبائین ابتدا توسط کدئین ردوکتاز به کدئین تبدیل و در نهایت کدئین نیز به مورفین تبدیل می‌گردد. غالب بودن یکی از دو مسیر بر دیگری به فعالیت نسبی آنزیم‌های ۱-۳-۱-۶-۱-۶-۱ و متیل اکسیداز<sup>۱</sup> و نهایی مسیر بیوسنتز آلکالوئیدهای گروه مورفین نیست و تحت شرایط خاصی به ویژه در کپسول‌ها به سرعت به نورمورفین<sup>۲</sup> و در نهایت به مواد غیر آلکالوئیدی تبدیل می‌شود (*Facchini and De Luca 1995; Allen et al. 2008*)

دنیا سعی دارند با تکنیک‌های مهندسی متابولیک از جمله خاموشی و افزایش بیان ژن‌های این مسیر، به راندمان مطلوب تولید آلکالوئید در واحد سطح دست یابند و تاکنون موفقیت‌های زیادی در این زمینه حاصل شده‌است. در آزمایشی که توسط (*Frick et al. 2007*) صورت گرفت، افزایش بیان ژن *CYP80B* در گیاه *P.Somniferum* منجر به افزایش ۴۵۰ درصدی کل آلکالوئیدهای موجود در گیاهان تاریخته شد.

آزمایشات دیگری که توسط (*Park et al. 2003*) انجام شد، کشت سلولهای تاریخت شده *Eschscholiza californica* با آنتی سنس ژن *BBe* کاهش ۷-۱۰ برابری در میزان کل آلکالوئیدهای *BBe* مسیرستز مورفین را نشان داد و در مقابل، افزایش بیان ژن *BBE* منجریه افزایش ۵-۶ برابری در میزان کل آلکالوئیدهای مسیر سنتز مورفین در کشت‌های ریشه مowiei *E.californic* شد.

*TYDC2* یکی از آنزیم‌های مهم نقاط انشعابی در مسیر تبدیل متابولیت اولیه تیروزین به سمت سنتز متابولیت ثانویه مورفین است. (*Facchini and De Luca 1994*) این ژن توسط mRNA جداسازی شد. در بین گونه‌های مختلف گیاهی، خشخاش دارای خانواده ژنی بزرگی از تیروزین/دوپا دکربوکسیلاز‌ها

<sup>1</sup> 3-O-methyloxidase

<sup>2</sup> 6-O-methyloxidase

<sup>3</sup> Normorphine

با آنزیم‌های *SacI* و *XbaI* برش خورده بودند، توسط واکنش Ligation به یکدیگر متصل شدند و بدین ترتیب سازه نوترکیب به نام pBI121-TK ساخته شد (Sambrook and Russel 2001).

پلاسمید دوتایی pBI121 حاوی ژن *GUS* تحت کنترل پیشبر CaMV35S و پایان بر *Nos* و ژن *nptII* تحت پیشبر و پایان بر *Nos* به عنوان نشانگر انتخابی مقاومت به کانامایسین است (شکل ۳). سازه ساخته شده pBI121-TK و پلاسمید pBI121 به طور جداگانه به روش ذوب و انجام<sup>۱</sup> به باکتری آگروباکتریوم سویه *LBA4404* انتقال داده شد و در نهایت آگروباکتری حاوی سازه نوترکیب در تلقیح گیاه استفاده شد.

#### تاریخچه گیاه خشخاش به روش Agroinfiltration

برای بهینه کردن شرایط انتقال ژن به روش Agroinfiltration در گیاه خشخاش، ابتدا از ناقل pBI121 حاوی ژن گزارشگر GUS استفاده شد. بدین ترتیب یک کلونی آگروباکتریوم حاوی ناقل pBI121 در LB ۱۰ ml مایع حاوی ۵۰ mg/l کانامایسین و ۵۰ mg/l ریفامپیسین در دمای ۲۸ درجه سانتی گراد کشت شبانه ۱۰ داده شد. باکتری‌های رشد یافته توسط سانتیریفورز به مدت ۱۰ دقیقه و ۵۰۰ دور در دمای ۴ درجه رسوب داده شد. مایع فوکانی خارج شد و به رسوب باکتری، محیط القابی رشد (۲۰ ml) محلول ۱/۲ MS با pH=۵/۵ gr/l ساکارز و ۲۰۰ µl استوسرینگون و ۱۰ mM MES اضافه شد و به مدت ۲ ساعت مجدداً درون انکوباتور در دمای مذکور قرار گرفت. سپس برگهای خشخاش درون آن قرار داده شد و در دسیکاتور خلاء، تحت خلاء ۲۵۰ میلی بار به مدت ۲۰ دقیقه قرار گرفت. این کار همراه با تکان دادن ظرف برای خروج کامل هوای میان بافتی و سه بار حذف سریع سیستم خلاء برای نفوذ مایع به فضای بین بافتی انجام شد. نمونه‌ها با آب شستشو و بر روی کاغذ صافی مرطوب، درون لیوان به مدت ۳ روز در اتاق کشت با دمای ۲۲ درجه سانتی گراد قرار داده شد. جهت ارزیابی ظاهر ژن بتاگلوکورونیداز، از آزمون هیستوشیمیایی GUS استفاده شد (Jefferson 1987; Kapila et al. 1997; Joh et al. 2005).

برگ‌ها در بافر رنگ آمیزی X-Gluc قرار گرفتند و پس از قرار

(Sambrook and Russel 2001). کلونی‌های سفید حاوی پلاسمید نوترکیب انتخاب و در شبکه انسکوپاتور با دمای ۳۷ درجه سانتیگراد و دور ۱۸۰ rpm به مدت یک شب رشد داده شدند. استخراج پلاسمید با استفاده از (Fermentas Gene JET™ Plasmid Miniprep Kit) شرکت (Kozak Enhancer) انجام شد. پلاسمید استخراج شده که حاوی ژن *TYDC2* بود، به عنوان DNA الگو، توسط جفت آغازگرهای دوم (R<sub>2</sub>) و (F<sub>2</sub>) که حاوی توالی توافقی کوزاک (Kozak Enhancer) بود، به PCR شد. بدین ترتیب توالی کوزاک به ابتدای ژن *TYDC2* الحاق شد. توالی افزایش دهنده کوزاک gccRecAUGG یک توالی توافقی است که در mRNA یوکاریوت‌ها مشاهده می‌شود (شکل ۲).



شکل ۲- توالی توافقی کوزاک (Kozak 1987)

R یک باز پورین (آدنین یا گوانین) می‌باشد. توالی taaAcaAUGG یکی از توالی‌های متداول در گیاهان می‌باشد که در این تحقیق به کار گرفته شد. این توالی نقش مهمی در شروع فرآیند ترجمه بر عهده دارد (Kozak 1987). در حین طراحی برای الحاق این توالی به ژن *TYDC2*، دقت شد آغازگر پیشرو حاوی توالی (F<sub>2</sub>): نظر مورد R: ۵'ATCTAGATAAACAAATGGGTAGTCTAACACTG3') طوری طراحی شود که چارچوب خواندن در مرحله رونویسی و ترجمه تغییر نکند. سایت برشی *XbaI* در ابتدای این آغازگر در نظر گرفته شد. علاوه بر آن کدون خاتمه UAA جایگزین کدون R<sub>2</sub>: آغازگر در UAG برگشتی شد و سایت برشی *SacI* در ابتدای این آغازگر قرار داده شد. سپس محصول PCR (ژن *TYDC2* حاوی توالی کوزاک) از روی ژل آکارز بازیابی و در پلاسمید *pTZ57R/T* (شرکت Fermentas) درج شد و به باکتری *E. coli* انتقال یافت. در مرحله بعد ژن *TYDC2* حاوی توالی کوزاک و ناقل pBI121، که هر دو

<sup>۱</sup> Freeze-Thaw

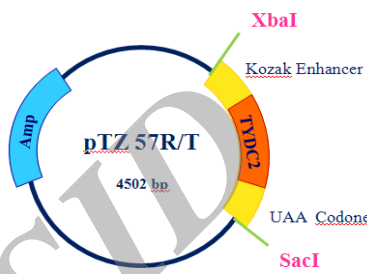
دادن تحت خلاء ۲۵۰ mbar به مدت ۵ دقیقه، به مدت یک شب در دمای ۳۷ درجه سانتی گراد در انکوباتور نگهداری شد و در نهایت ۴-۵ مرتبه با اتانول ۷۵ درصد شستشو شد. این کار تا حذف کامل کلروفیل و نمایان شدن لکه های آبی ادامه داشت (Kapila et al. 1997). در نهایت گیاهان خشخاش شش هفته ای با آگروباکتری حاوی سازه نوترکیب pBI121-TK مطابق با شرایط بهینه شده در مراحل قبل، تلچیح شدند.

#### استخراج آلkalوئید و تجزیه HPLC

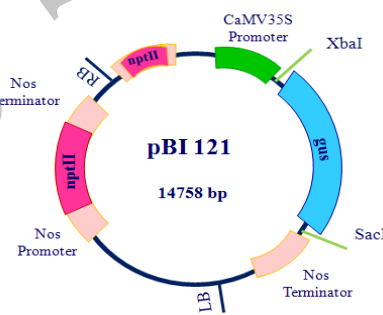
بعد از گذشت سه روز و به زردی گراییدن برگ‌ها، نمونه‌های تاریخت و شاهد بطور جداگانه به مدت یک هفته در سایه خشک و آسیاب شد و پس از گذراندن از الک، استخراج آلkalوئید از نمونه‌ها به روش Facchini and De Luca (1995); Frick et al. (2004) با اندکی تغییر انجام شد. بر اساس این روش، مقدار یک گرم از پودر خشخاش را به اrlen ۲۵۰ میلی لیتری انتقال داده و حلال استخراجی، شامل ۵ میلی لیتر آمونیاک ۲۵ درصد، ۲۵ میلی لیتر متانول و ۷۵ میلی لیتر کلروفورم به آن اضافه و به مدت ۱۰ دقیقه در دستگاه اولتراسونیک قرار داده شد. سپس به مدت ۳۰ دقیقه در مکانی تاریک نگهداری شد و بعد به وسیله کاغذ صافی و پنبه آنرا صاف کرده و به کمک ۱۰ میلی لیتر کلروفورم محتویات باقی مانده در اrlen نیز از کاغذ صافی عبور داده شد. محلول صاف شده، در یک بالن ۲۰۰ میلی لیتری به دستگاه روتاری متصل شد تا حلال های آن تبخیر و خارج شود. به رسوب حاصل، ۲۵ میلی لیتر کلروفورم و ۱۰ میلی لیتر اسید سولفوریک یک نرمال اضافه شد. محلول فوق را به یک دکانتور منتقل کرده و پس از ایجاد دو فاز مجزا، فاز پایینی که فاز کلروفورمی بود، از دکانتور خارج کرده و فاز بالایی را که فاز آبی بود، نگه داشته شد. با استفاده از چند قطره محلول آمونیاک pH محلول بین ۱۰-۱۱ تنظیم شد. در این مرحله فاز کلروفورمی در بالن های کوچکتر جمع آوری و فاز آبی مجدها با ۱۰ میلی لیتر کلروفورم استخراج و جمع آوری شد. برای آبگیری به آن سدیم سولفات ایندیرید اضافه شد و سپس بوسیله کاغذ صافی صاف گردید. مجدها با دستگاه روتاری حلال آن کاملا خارج شد و مواد باقی مانده با ۵ میلی لیتر متانول جمع آوری شد. در تجزیه عصاره



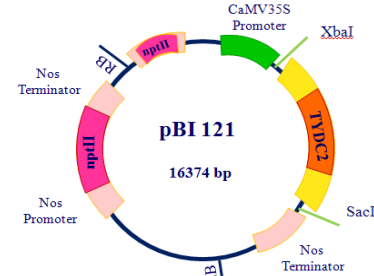
الف) نقشه پلاسمید نوترکیب pGEM-TYDC2



ب) نقشه پلاسمید نوترکیب pTZ57R/T-TYDC2



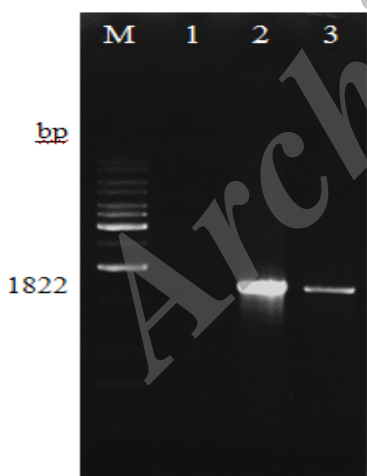
ج) نقشه پلاسمید pBI121



د) نقشه پلاسمید نوترکیب pBI121-TK

شکل ۳- تصویر شماتیک مراحل ساخت پلاسمید نوترکیب pBI121-TK.  
 الف) ژن *TYDC2* در پلاسمید T-Easy Vector pGEM درج شد (ب) توالی افزایش دهنده کوزاک به ابتدای ژن *TYDC2* الحاق شد و پس از برش با آنزیم-های *XbaI* و *SacI* در پلاسمید pTZ57R/T درج شد (ج و (د) پلاسمید pBI121 با آنزیم-های *XbaI* و *SacI* به منظور خارج کردن ژن *GUS* برش داده شد سپس ژن *TYDC2* حاوی توالی کوزاک در آن درج شد.

همچنین نتایج حاصل از برش آنزیمی، صحت سازه ساخته شده را تایید نمود (شکل ۵ و ۶). به این ترتیب پلاسمید نوترکیب حاصل موسوم به pBI121-TK حاوی ژن تیروزین دکربوکسیلاز تحت پیشبر CaMV35S و پایان بر Nos در ناجیه T-DNA خود به همراه نشانگر انتخابی *nptII* (ژن مقاومت به کاناامایسین) تحت پیشبر و پایان بر Nos، ساخته شد. به منظور انتقال این پلاسمید به روش Agroinfiltration به گیاه خشخاش، مراحل کار به روش آزمون هیستوشیمیایی GUS توسط پلاسمید pBI121 به روش Jefferson (1987) بهینه شد. بدین ترتیب که نمونه‌های برگی که این پلاسمید را دریافت کردند به طور جداگانه در محلول X-gluc قرار داده شدند. آبی رنگ شدن سوبسترا در اثر فعالیت آنزیم بتاگلوکورونیداز که در نتیجه بیان ژن GUS در نمونه‌هایی که اگرواینفیلتراسیون در آنها با پلاسمید pBI121-GUS صورت گرفته بود، نشان داد که ژن GUS تحت پیشبر CaMV35S و پایان بر Nos به طور صحیح در برگ‌های گیاه خشخاش رونویسی و بیان می‌شود (شکل ۷) در نتیجه انتظار می‌رود با استفاده از Agroinfiltration، سازه ساخته شده که در نتیجه بیان ژن GUS به این گیاه انتقال یافته و ژن هدف با موفقیت در ژنوم خشخاش وارد شود.



شکل ۴- تایید حضور ژن *TYDC2* در ناقل pGEM T-Easy Vector با استفاده از تکنیک PCR. نشانگر وزن مولکولی (M) 1000 bp (Fermentas) (۱) کترل منفی (واکنش PCR با آب مقطر بدون DNA)، (۲) محصول ناشی از تکثیر ژن *TYDC2* با آغازگرهای *R1, F1* در ناقل pGEM (۳) کترل مثبت (قطعه‌ای که توسط آغازگرهای *R1, F1* از ژنوم گیاه تکثیر شد).

ها از دستگاه HPLC<sup>۱</sup> مدل Knauer با Flow rate ۲ میلی لیتر در دقیقه و ترکیب فاز متحرک به کار برده شده، آمونیوم استات ۱۰۰، دی اکسان، استونیتریل، به نسبت (۴۰:۵۰:۵۰:۸۶) با اسید CN pH=۵/۶ و دتکتور UV با طول موج ۲۵۴ nm، ستون 5micrometer (4.9\*250) استفاده شد. برای اندازه‌گیری کمی آکالوئیدها، ابتدا غلظت‌های (mg/ml) ۰/۷۵، ۰/۵، ۰/۲۵ از استانداردهای هر یک از آکالوئیدهای مورفین، کدئین و تباين در متانول تهیه شد و هر یک در سه تکرار به دستگاه HPLC تزریق و سطح زیر منحنی در مقابل مقدار تزریق ترسیم شد. معادله خط و ضریب همبستگی (*r*<sub>۲</sub>) استاندارد مورفین، کدئین و تباين محاسبه و منحنی کالیبراسیون آن رسم گردید. سیستم در گستره غلظت نمونه‌های استاندارد تنظیم شد. سپس ۵۰ میکرو لیتر از هر یک از نمونه‌های عصاره گیری شده، به دستگاه HPLC تزریق و کروماتوگرام آنها ثبت شد.

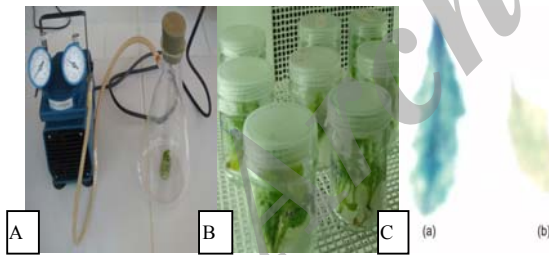
## نتایج و بحث

### تایید ساختار

حضور ژن *TYDC2* در پلاسمید pGEM T-Easy Vector با سیستم PCR توسط آنزیم EcoRI و تکنیک PCR تایید شد (شکل ۴). کلونی‌هایی که ژن *TYDC2* را دریافت کرده بودند، مطابق انتظار قطعه‌ای به طول ۱۸۲۲ جفت باز در آنها مشاهده شد. بعد از الحاق توالی کوزاک به توالی ژن تیروزین دکربوکسیلاز و همسانه سازی آن در پلاسمید pTZ57R/T استخراج پلاسمید از کلونی‌های سفید انجام گرفت و با آنزیم‌های *XbaI* و *SacI* برش آنزیمی شدند و در نتیجه، قطعاتی به طول ۲۸۸۶ و ۱۶۱۶ جفت باز مشاهده شد (شکل ۵). همچنین در واکنش PCR با استفاده از آغازگرهای اختصاصی، قطعاتی به طول مورد انتظار ۱۶۱۶ جفت باز مشاهده شد (شکل ۶). برای بررسی و تایید صحت سازه ساخته شده pBI121-TK، این سازه با آنزیم‌های *XbaI* و *SacI* برش داده شد و قطعاتی به طول ۱۶۱۶ و ۱۴۷۸۵ جفت باز مشاهده شد. برای اطمینان بیشتر از صحت سازه ساخته شده، واکنش PCR با استفاده از آغازگرهای اختصاصی انجام گرفت. وجود باند اختصاصی ژن به طول مورد انتظار ۱۶۱۶ جفت باز و

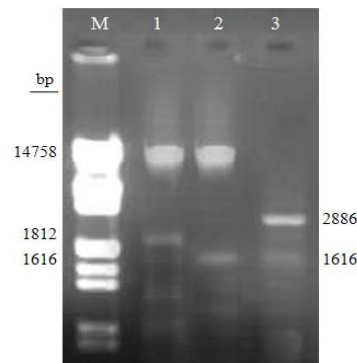
<sup>۱</sup> High performance liquid chromatography

هیدروکسی فنیل آلانین (دوپا) آنها را به ترتیب به تیرامین و دوپامین تبدیل می‌کنند این عمل اولین مرحله در تبدیل یک متابولیت اولیه به سمت ستر متابولیت‌های ثانویه می‌باشد. این ترکیبات نیز بر اساس اینکه کدامیک از ایزوفرم‌های خانواده ژنی *TYDC* شروع کننده این مسیر است، طی چندین واکنش اکسیداتیو بی در پی به متابولیت‌های ثانویه ای مانند آکالالوئیدها، کومارین (Park et al. 1999; Kassem (Park et al. 2001) and Jacquin 2001) در آزمایشاتی که توسط (1999) جهت بررسی الگوی بیانی ژن *BBE1* با دو ایزوفرم *TYDC* انجام شد، الگوی بیانی *BBE1* مشابه با ژن *TYDC2* بود. از آنجایی که ژن *BBE1* در بیوستتر آکالالوئیدهای گروه مورفین شرکت دارد، لذا محققین بر این باورند که ژن‌هایی که بیانشان مشابه با بیان ژن‌های زیرخانواده *TYDC2* است در ستر آکالالوئیدهای ایزوکوئینولین نقش دارند. در حالی که ژن‌هایی که بیانشان مشابه با بیان ژن‌های زیرخانواده *TYDC1* است در سایر پاسخ‌های دفاعی گیاه شرکت دارند (Zigler et al. 2006). از آنجا که مورفین یکی از ترکیباتی است که در گروه آکالالوئیدهای ایزوکوئینولینی دسته‌بندی می‌شود لذا در این تحقیق ژن *TYDC2* به منظور دستورزی مسیر ستر آکالالوئیدهای گروه مورفین انتخاب شد.

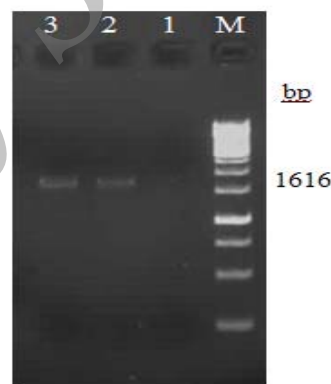


شکل ۷- مراحل انجام Agroinfiltration در خشخاش. (A) قرار دادن گیاه در سوسپانسیون باکتری و اعمال خلاء، (B) نگهداری گیاهان اینفیلتره شده در اتاق رشد، (C) مشاهده نقاط آبی رنگ در اثر فعالیت آنزیم بتاگلوكورونیداز در برگ‌هایی که Agroinfiltration در آنها انجام گرفت، (a) نمونه بزرگ گیاه ترانسفورم شده، (b) نمونه بزرگ شاهد.

میزان مورفین، کدئین و تبائین در نمونه‌های تاریخته با سازه HPLC و شاهد (گیاه غیر تاریخته) با دستگاه pBI121-TK اندازه‌گیری شد (جدول ۱). نتایج نشان داد میزان آکالالوئیدهای



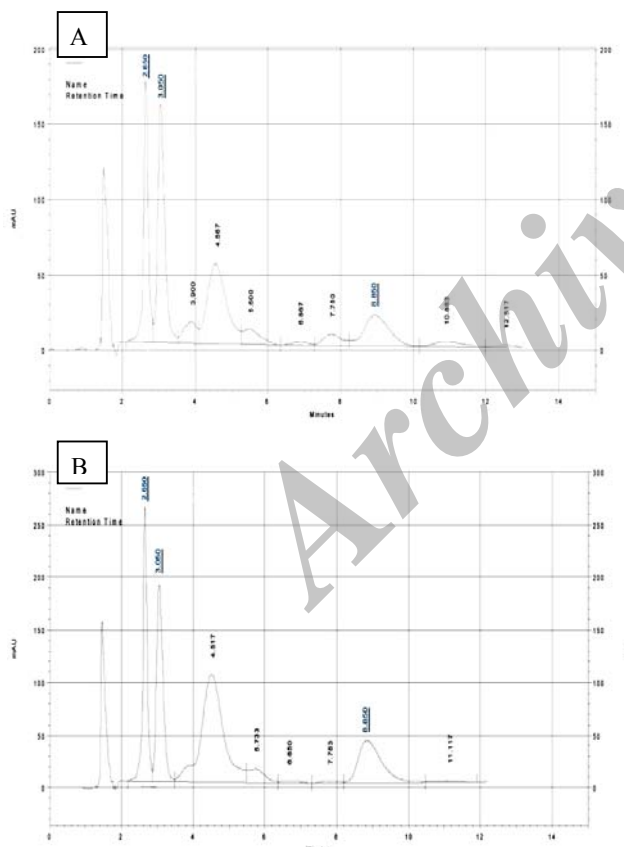
شکل ۵- نتایج برش آنزیمی. (M) نشانگر وزن مولکولی (Lambda DNA/EcoRI+HindIII Marker)، (1) محصول برش pBI121 با آنزیم‌های *Xba*I و *Sac*I به منظور جایگزین کردن ژن *TYDC2* در محل ژن *GUS*، (2) محصول برش pBI121-TK با آنزیم‌های *Sac*I و *Xba*I به منظور اثبات حضور ژن *TYDC2* حاوی توالی کوزاک، در سازه ساخته شده، (3) کنترل مثبت (محصول برش ناقل pTZ57R/T-*Xba*I با آنزیم‌های *Xba*I و *Sac*I).



شکل ۶- تایید حضور ژن *TYDC2* در ناقل pBI121-TK با استفاده از تکنیک PCR، (M) نشانگر وزن مولکولی 1000 bp (Fermentas)، (1) PCR با آب مقطر بدون DNA (DNA)، (2) کنترل مثبت (محصول ناشی از تکثیر ژن *TYDC2* با آغازگرهای R2,F2 در ناقل pTZ57R/T-TK)، (3) محصول ناشی از تکثیر ژن *TYDC2* با آغازگرهای R2,F2 در ناقل pBI121-TK.

این پلاسمید برای انتقال به گیاهان دارویی که سرشار از متابولیت‌های ثانویه می‌باشند، جهت افزایش آکالالوئیدها و حتی دیگر ترکیبات ثانویه می‌تواند مورد استفاده قرار گیرد. چرا که اغلب این گیاهان دارای خانواده ژنی از تیروزین/دوپا دکربوکسیلاز (*TYDCs*) می‌باشند. تمام *TYDC*‌های گیاهی شناخته شده تیروزین و دی هیدروکسی فنیل آلانین (دوپا) را به عنوان پیش‌ماده می‌پذیرند، و با حذف یک گروه کربوکسیل از تیروزین و دی

بیان دیگر ژنهای تشدید بیان شده در این مسیر که توسط دیگر محققین انجام شده است، از اینجا ناشی می‌شود. با وجود اینکه مورفین و کدئین از همان ابتدای رشد در گیاهچه‌های کوچک خشخاش سنتز می‌شوند ولی مقدار آن در مقایسه با مرحله گلدهی و تکامل مجاری لاتکس که گیاه پتانسیل بیشتری برای تولید آلالکالوئیدهای گروه مرفین دارد، بسیار ناچیز می‌باشد. بنابراین با انتقال این ژن به صورت پایدار راندمان تولید آلالکالوئیدهای گروه مرفین به مراتب بیشتر از این مقدار خواهد- بود. امیدوار هستیم که در آینده با تشدید بیان ژن *TYDC2* به همراه خاموش سازی ژنهای موجود در نقطه انشعابی اس رتیکولین، دو مسیری که به سنتز سنگوئینارین و لاودانوزین می‌انجامد و پیش ماده‌های موجود در بالادرست سنتز مورفین را به دیگر مسیرها که مد نظر ما نیست هدایت می‌کنند، به میزان بالایی از مورفین دست یابیم.



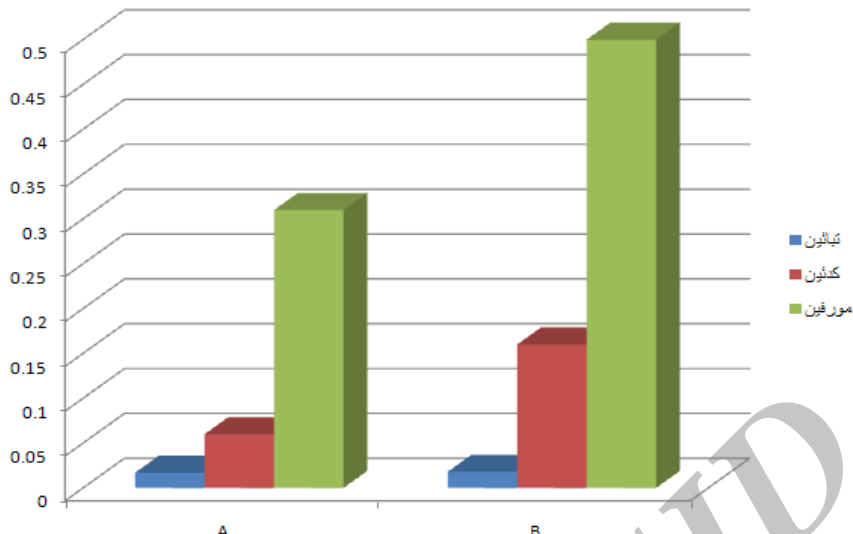
شکل ۸- کروماتوگرام HPLC مربوط به گیاه تاراریخته و شاهد. (A) گیاه شاهد گیاه تاراریخته توسط سازه pBI121-TK (مورفین ۲/۶۵۰ دقیقه، کدئین ۳/۰۵۰ دقیقه، تبائین ۸/۸۵۰ دقیقه)

مورفین، کدئین و تبائین در مجموع ۷۵/۲ درصد نسبت به گیاه شاهد افزایش یافته است (شکل ۸) در حالی که این میزان افزایش در مقایسه با سایر ژنهایی که توسط دیگر محققین Park et al. (2003) منجر به افزایش ۶-۵ برابری در میزان کل *Eschscholiza californica* شد و یا افزایش بیان ژن *CYP80B3* توسط Frik et al. (2007) منجر به افزایش ۴۵۰ درصدی در کل آلالکالوئیدهای موجود در لاتکس شده نسبتاً کمتر می‌باشد. ولی این میزان افزایش، نشان دهنده پتانسیل بالای این ژن برای بکار گیری آن جهت افزایش میزان آلالکالوئیدهای گروه مورفین از طریق مهندسی متابولیت‌ها در این گیاه می‌باشد. در مسیر سنتز مورفین از متابولیت‌ها در این گیاه تیروزین، حداقل ۱۷ مرحله آنزیمی شناخته شده باید طی شود و از طرفی در نقطه انشعابی اس- رتیکولین مسیر سنتز آلالکالوئیدهای ایزو-کوئینولین در خشخاش به سه شاخه مجزا منشعب می‌شود و محصولات حاصل از بیان ژن *TYDC2* به سه

جدول ۱- نتایج حاصل از HPLC در گیاه تاراریخت و شاهد

ترکیبات	نمونه شاهد (mg/ml)	نمونه تاراریخت (mg/ml)
مورفین	۰/۳۱	۰/۵
کدئین	۰/۰۶	۰/۱۶
تبائین	۰/۰۱۷	۰/۰۱۸
کل	۰/۳۸۷	۰/۶۷۸

مسیر مختلف هدایت شده و به تدریج مقدار آن طی این مسیرهای آنزیمی تعديل می‌شود. علاوه بر آن، تعداد زیادی مسیر ناشناخته دیگر وجود دارد که تیرامین در ترکیب با دیگر مولکولها موجب سنتز متابولیت‌های ثانویه ای مانند هیدروکسی سینامیک آمید می‌شود که مانند آلالکالوئیدهای گروه مورفین دارای منشا تیروزینی هستند (De Luca and St Pierre 2000; Davies and Schwinn 2003). از آنجا که میزان اسید آمینه تیروزین در گیاه محدود می‌باشد، تعدد مسیرهای متابولیکی موجود باعث می‌شود که سهم کمتری در مسیر سنتز آلالکالوئیدهای گروه مورفین قرار گیرد. در نتیجه به نظر می‌رسد این اختلاف، نسبت به افزایش



شکل ۹- مقایسه میزان افزایش آلکالوئیدهای گروه مورفین در نمونه تراریخت (B) نسبت به نمونه شاهد (A).

### منابع

- Allen RS, Miller JAC, Chitty JA, Fist AJ, Gerlach WL, Larkin PJ (2008) Metabolic engineering of morphinan alkaloids by overexpression and RNAi suppression of salutarinol 7-O-acetyltransferase opium poppy. *Plant Biotechnology Journal* 6: 22-30.
- Bird DA, Franceschi VR, Facchini PJ (2003) A tale of three cell types: alkaloid biosynthesis is localized to sieve elements in opium poppy. *Plant Cell* 15: 2626-2635.
- Davies KM, Schwinn KE (2003) Transcriptional regulation of secondary metabolism. *Funct Plant Biol* 30: 913-925.
- De Luca V, St Pierre B (2000) The cell and developmental biology of alkaloid biosynthesis. *Trends Plant Sci* 5: 168-173.
- El-Ahmadi SH, Nessler CL (2001) Cellular localization of tyrosin decarboxylase expression in transgenic opium poppy and tobacco. *Plant Cell Reports* 20: 313-317.
- Facchini PJ, De Luca V (1995) Phloem-specific expression of tyrosine/dopa decarboxylase genes and biosynthesis of isoquinoline alkaloids in opium poppy. *Plant Cell* 7: 1811-1821.
- Facchini PJ, Park SU (2003) Development and inducible accumulation of gene transcripts involved in alkaloid biosynthesis in opium poppy. *Phytochemistry* 64: 177-186.
- Facchini PJ, Loukanina N, Blanche V (2008) Genetic transformation via somatic embryogenesis to establish herbicide-resistant opium poppy cultures. *Plant Cell Rep* 27: 719-727.
- Frick S, Chitty JA, Kramell R, Schmidt J, Allen RS, Larkin PL, Kutchan TM (2004) Transformation of opium poppy with antisense berberine bridge enzyme gene (anti-bbe) via somatic embryogenesis results in an altered ratio of alkaloids in latex but not in roots. *Transgenic Research* 13: 607-613.
- Frick S, Kramell R, Kutchan TM (2007) Metabolic engineering with a morphine biosynthesis P450 in opium poppy surpasses breeding. *Metabolic Engineering* 9:169-176.
- Grothe T, Lenz R, Kutchan TM (2001) Molecular characterization of the salutaridinol 7-O-acetyltransferase involved in morphine biosynthesis in opium poppy (*Papaver somniferum*). *J Biol Chem* 276: 30717-30723.
- Guillet G, Poupart J, Basurco J, De Luca V (2000) Expression of Tryptophan Decarboxylase and Tyrosine Decarboxylase Genes in Tobacco Results in Altered Biochemical and Physiological Phenotypes. *Plant Physiology* 122: 933-943.
- Jefferson RA (1987) Assaying chimeric genes in plant: the gus gene fusion system. *Plant Molecular Biology Reporter* 5:387-405.
- Joh LD, Wroblewski T, Ewing NN, VanderGheynst JS (2005) High-level transient expression of recombinant protein in lettuce. *Biotechnology and Bioengineering* 91:863-873.
- Kapila J, De Rycke R, Van Montagu M, Angenon G. (1997) An Agrobacterium-mediated transient gene expression system for intact leaves. *Plant Sci* 122:101-108.
- Kassem AM, Jacquin A (2001) Somatic embryogenesis, rhizogenesis, and morphinan alkaloids production in two species of opium poppy. *Biomedicine and Biotechnology* 1: 70-78.
- Kozak M (1987) An analysis of 5'-noncoding sequences from 699 vertebrate messenger RNAs. *Nucleic Acids Res* 15:8125-8148.

- Park SU, Johnson AG, Yostand CP, Facchini PJ (1999) Analysis of promoters from tyrosine /dihydroxyphenylalanine decarboxylase and berberinebridge enzyme genes involved benzylisoquinoline alkaloid biosynthesis in opium poppy. *Plant Molecular Biology* 40:121-131.
- Park SU, Yu M, Facchini PJ (2003) Modulation of berberine bridge enzyme levels in transgenic root cultures of California poppy alters the accumulation of benzophenanthridine alkaloids. *Plant Mol Biol* 51: 153-164.
- Sambrook J and Russel DW (2001) *Molecular Cloning: A Laboratory Manual*, 3nd edn. Cold Spring Harbor Laboratory Press, New York, USA.

Verpoorte R, Alfermann AW (2000) Metabolic engineering of plant secondary metabolism. Kluwer Academic Publishers, 253 pp.

Weid M, Ziegler J, Kutchan TM (2004) The roles of latex and the vascular bundle in morphine biosynthesis in the opium poppy. *Proc Natl Acad Sci USA* 101: 13957-13962.

Ziegler J, Voigtlander S, Schmidt J, Kramell R, Miersch O, Ammer C, Gesell A, Kutchan TM (2006) Comparative transcript and alkaloid profiling in papaver species identifies a short chain dehydrogenase/reductase involved in morphine biosynthesis. *Plant Journal* 48: 177-192.

Archive of SID